

105

МИНИСТЕРСТВО ВЫСШЕГО И СРЕДНЕГО
СПЕЦИАЛЬНОГО ОБРАЗОВАНИЯ СССР

*ИЗВЕСТИЯ
ВЫСШИХ УЧЕБНЫХ ЗАВЕДЕНИЙ*

ПРИБОРОСТРОЕНИЕ

ТОМ XXXI

№ 12

ОТДЕЛЬНЫЙ ОТТИСК

ИЗДАНИЕ ЛЕНИНГРАДСКОГО ИНСТИТУТА
ТОЧНОЙ МЕХАНИКИ И ОПТИКИ
1988

СОВМЕСТНАЯ ОЦЕНКА ВЕЛИЧИНЫ И ЦЕНТРАЛЬНОЙ ЧАСТОТЫ СПЕКТРА МОЩНОСТИ СЛУЧАЙНОГО ПРОЦЕССА

А. П. ТРИФОНОВ, Е. П. НЕЧАЕВ

Воронежский государственный университет

Предложен способ аппаратурной реализации оптимального измерителя величины и центральной частоты спектра мощности случайного процесса. Получены асимптотически точные выражения для характеристик оценок.

В [1, 2] описан стандартный измеритель дисперсии или спектральной плотности случайного процесса. Для гауссовского узкополосного центрированного случайного процесса $s(t)$ со спектром мощности

$$G(\omega, N_{s0}, l_0) = \begin{cases} N_{s0}/2, & |\omega \pm l_0| \leq \Omega/2, \\ 0, & |\omega \pm l_0| > \Omega/2 \end{cases} \quad (1)$$

такой измеритель включает полосовой фильтр с прямоугольной амплитудно-частотной характеристикой, квадратор и усредняющее устройство (интегратор). Ширина полосы пропускания фильтра должна совпадать с шириной спектра Ω , а центральная частота l — с центральной частотой спектра l_0 случайного процесса. Измеритель спектра мощности практически представляет собой аппаратурную реализацию оценки максимального правдоподобия для N_{s0} при известной величине l_0 . Получаемую оценку можно записать в виде [3]

$$N_s = r(l)/\mu - N_0, \quad (2)$$

где $r(l) = \int_0^T x^2(t, l) dt$, $x(t, l)$ — отклик фильтра с передаточной функцией $H(j\omega, l) = 1$, когда $|\omega \pm l| \leq \Omega/2$, и $H(j\omega, l) = 0$, когда $|\omega \pm l| > \Omega/2$, на реализацию наблюдаемого на интервале времени $[0, T]$ случайного процесса $x(t) = s(t) + n(t)$; N_0 — односторонняя спектральная плотность гауссовского белого шума $n(t)$; $\mu = T\Omega/2\pi$.

Центральная частота l_0 спектра мощности (1) во многих прикладных задачах априори неизвестна. Тогда центральная частота фильтра l может не совпадать с величиной l_0 . С учетом [3] запишем условные смещение (систематическую ошибку) и рассеяние (средний квадрат ошибки) оценки (2) при $l \neq l_0$: $d(N_s | N_{s0}, l_0) = \langle N_s - N_{s0} \rangle = -N_{s0}\delta$; $V(\hat{N}_s | N_{s0}, l_0) = \langle (\hat{N}_s - N_{s0})^2 \rangle = N_0^2 [(1 + q_0)^2 (1 - \delta) + q_0^2 \mu \delta^2 + \delta] / \mu$, $\delta = \min(\Delta, 1)$, $\Delta = |l - l_0| / \Omega$, $q_0 = N_{s0} / N_0$.

Проигрыш в точности оценки (2) за счет незнания l_0 будем характеризовать величиной $\rho = V(N_s | N_{s0}, l_0) / V(\hat{N}_s | N_{s0})$. Здесь $V(\hat{N}_s | N_{s0}) = (N_0 + N_{s0})^2 / \mu$ — рассеяние оценки \hat{N}_s , когда l_0 известно ($l = l_0$). На рис. 1 приведены зависимости ρ от нормированной расстройки Δ .

Кривая 1 соответствует $q_0=0,1$; 2 — $q_0=0,5$; 3 — $q_0=1$. Сплошные кривые построены для $\mu=10^2$, а штриховые — для $\mu=10^3$. Анализ зависимостей на рис. 1 показывает, что отсутствие априорной информации о величине l_0 может привести к существенному снижению точности оценки (2).

Точность измерения величины спектра мощности можно повышать, используя устройство, реализующее совместную оценку величины и центральной частоты спектра мощности случайного процесса. В этом случае оценки величины N_{sm} и центральной частоты l_m спектра мощности находятся как положение абсолютного максимума логарифма функционала отношения правдоподобия. Согласно [3],

$$N_{sm} = r(l_m) / \mu - N_0, \quad (3)$$

а l_m совпадает с положением абсолютного максимума функции $r(l)$, которую можно представить в виде $r(l) = TR(l)/\pi$, где $R(l) = \int_{l-\Omega/2}^{l+\Omega/2} s_T(\omega) d\omega$, $s_T(\omega) = |\int_0^T x(t) \exp(-j\omega t) dt|^2 / T$ — периодограмма реализации $x(t)$ [1]. Будем считать, что величина l_0 принимает значения

из интервала $[L_1, L_2]$, $L_1 > \Omega/2$. Тогда структуру устройства, реализующего совместную оценку величины и центральной частоты спектра мощности случайного процесса, можно изобразить в виде схемы (рис. 2). Здесь 1 — последовательный спектроанализатор [1], анализирующий за время $[0, \Delta t]$, $\Delta t \gg T$, диапазон частот $[L_1 - \Omega/2, L_2 + \Omega/2]$, 2 — линия задержки

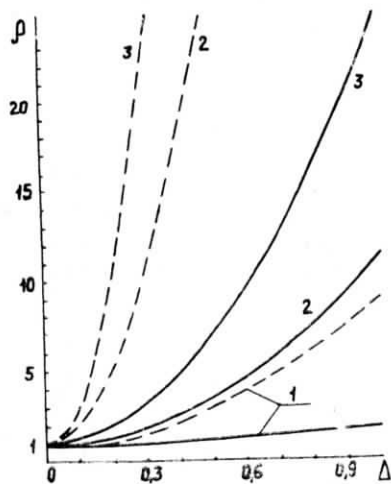


Рис. 1

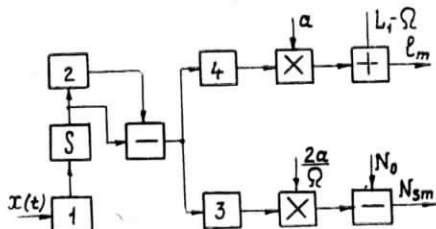


Рис. 2

на время $\tau = \Omega \Delta t / (L_2 - L_1 + \Omega)$, 3 — пиковый детектор, 4 — решающее устройство, которое фиксирует положение абсолютного максимума сигнала на интервале времени $[\tau, \Delta t]$, $a = (L_2 - L_1 + \Omega) / \Delta t$.

Определение характеристик оценок N_{sm} и l_m сводится к задаче о достижении границ марковским случайным процессом. Применяя метод локально-марковской аппроксимации [4] и используя результаты [3], находим условные смещения и рассеяния оценок N_{sm} и l_m :

$$d(N_{sm} | N_{s0}, l_0) = \langle N_{sm} - N_{s0} \rangle \simeq (N_0 + N_{s0}) (f_1 - 1); \quad (4)$$

$$V(N_{sm} | N_{s0}, l_0) = \langle (N_{sm} - N_{s0})^2 \rangle \simeq (N_0 + N_{s0})^2 (f_2 - 2f_1 + 1); \quad (5)$$

$$d(l_m | N_{s0}, l_0) = \langle l_m - l_0 \rangle \simeq (1 - p_0) [(L_1 + L_2)/2 - l_0];$$

$$V(l_m | N_{s0}, l_0) = \langle (l_m - l_0)^2 \rangle \simeq p_0 \sigma_0^2 +$$

$$+ (1 - p_0) [l_0^2 - l_0(L_1 + L_2) + (L_1^2 + L_1 L_2 + L_2^2)/3],$$

где

$$f_1 = \mu^{-1} \int_{\mu/(1+q_0)}^{\infty} [1 - F(x)] dx + (1 + q_0)^{-1};$$

$$f_2 = 2\mu^{-2} \int_{\mu/(1+q_0)}^{\infty} x [1 - F(x)] dx + (1 + q_0)^{-2};$$

$$F(x) = \exp \left\{ -\frac{m}{\Gamma(\mu)} x^\mu (1 + q_0)^\mu \exp(-x(1 + q_0)) \right\} \times$$

$$\times \{1 - \Gamma(\mu, x)/\Gamma(\mu) - 2 \exp(-\Gamma_0 x) [1 - \Gamma(\mu, (1 - \Gamma_0)x)/\Gamma(\mu)] \times$$

$$\times (1 - \Gamma_0)^{-\mu} + \exp(-2\Gamma_0 x) [1 - \Gamma(\mu, (1 - 2\Gamma_0)x)/\Gamma(\mu)] (1 - 2\Gamma_0)^{-\mu}\};$$

$$m = (L_2 - L_1)/\Omega, \quad \Gamma_0 = 2q_0(1 + q_0)/(2 + 2q_0 + q_0^2);$$

$\Gamma(\mu, x)$ — неполная гамма-функция [5]; $\Gamma(\mu) = \Gamma(\mu, 0)$ — гамма-функция;

$$p_0 \simeq 2\Gamma_0 \int_{\mu/(1+q_0)}^{\infty} \exp \left\{ -\frac{m}{\Gamma(\mu)} x^\mu (1 + q_0)^\mu \exp(-x(1 + q_0)) \right\} \times$$

$$\times \{ \exp(-\Gamma_0 x) [1 - \Gamma(\mu, (1 - \Gamma_0)x)/\Gamma(\mu)] (1 - \Gamma_0)^{-\mu} -$$

$$- \exp(-2\Gamma_0 x) [1 - \Gamma(\mu, (1 - 2\Gamma_0)x)/\Gamma(\mu)] (1 - 2\Gamma_0)^{-\mu} \} dx -$$

вероятность надежной оценки; $\sigma_0^2 \simeq 13\pi^2(2 + 2q_0 + q_0^2)^2/2T^2q_0^4$ — дисперсия надежной оценки центральной частоты l_0 [3]. Точность полученных выражений возрастает с увеличением априорного интервала возможных значений параметра $l_0(m \rightarrow \infty)$ и с увеличением времени наблюдения $T(\mu \rightarrow \infty)$.

Выражения (4) и (5) существенно упрощаются, если вероятность аномальной ошибки при оценке частоты пренебрежимо мала. Тогда при $\mu \gg 1$ получаем $d(N_{sm} | N_{s0}, l_0) \simeq 0$, а $V(N_{sm} | N_{s0}, l_0) \simeq (N_0 + N_{s0})^2/\mu$. Значит, оценка (3) является асимптотически (с увеличением μ) несмещенной, а ее рассеяние совпадает с рассеянием оценки (2) при известном значении l_0 . Следовательно, кривые (рис. 1) показывают выигрыш в точности оценки (3) по сравнению с оценкой (2), формируемой стандартным [1, 2] измерителем спектра мощности случайного процесса. Причем с увеличением μ выигрыш в точности становится существенным. Например, при $\mu = 10^3$, $q_0 = 0,5$, $\Delta = 0,3$ рассеяние оценки (2) превышает рассеяние оценки (3) на порядок.

Таким образом, полученные соотношения позволяют сделать обоснованный выбор между измерителями (2) и (3) в зависимости от точности, с которой априори известна центральная частота спектра мощности случайного процесса, а также в зависимости от требований к степени простоты технической реализации измерителя.

ЛИТЕРАТУРА

1. Мирский Г. Я. Аппаратурное определение характеристик случайных процессов. — М.: Энергия, 1972. — 456 с.
2. Тихонов В. И. Статистическая радиотехника. — М.: Радио и связь, 1982. — 624 с.
3. Трифонов А. П. Прием случайного сигнала с неизвестной частотой // Радиотехника и электроника. — 1980. — Т. 25. — № 4. — С. 749—757.
4. Трифонов А. П., Шинаков Ю. С. Совместное различение сигналов и оценка их параметров на фоне помех. — М.: Радио и связь, 1986. — 264 с.
5. Справочник по специальным функциям / Под ред. М. Абрамовица и И. Стиган. — М.: Наука, 1979. — 832 с.

Рекомендована кафедрой
радиофизики

Поступила в редакцию
23 апреля 1988 г.

УДК 621.382.26

ДИНАМИЧЕСКАЯ МОДЕЛЬ ПЛАНИРОВАНИЯ РАБОТ В РАСПРЕДЕЛЕННОЙ СИСТЕМЕ УПРАВЛЕНИЯ С ПЕРЕМЕННОЙ СТРУКТУРОЙ

Б. В. СОКОЛОВ

Ленинград

Предлагается детерминированная динамическая модель планирования работ, в рамках которой проводится описание как задач планирования процесса приема, обработки, хранения, передачи информации в распределенной системе управления, так и задач управления перемещением ее элементов, изменением ее структуры.

Каждый B_μ ($\mu=1, \dots, m$) узел, или пункт обслуживания (ПО), распределенной системы управления (PCY) [1] имеет возможность принимать, обрабатывать, хранить и передавать информацию на объекты управления (ОУ) A_ν ($\nu=1, \dots, n$) и на другие ПО $B_{j'}$ ($j'=1, \dots, m$; $j' \neq \mu$). Для этого в состав аппаратного комплекса ПО B_μ входят соответствующие технические средства (ТС) (рис. 1). На рис. 2 в качестве примера приведен граф, задающий технологию получения, обработки и выдачи информации на ПО B_μ . Цифрами обозначены соответствующие операции: 1 — по приему информации с B_μ узла; 2 — по приему информации с ОУ A_ν ; 3(4) — записи и считывания информации из запоминающего устройства (ЗУ) вычислительного комплекса (ВК) ПО; 5 — по передаче информации в $B_{j'}$ узел; 6 — по обработке информации на ВК; 7 — операции, связанные с выдачей управляющих воздействий на ОУ $A_{\nu'}$ ($\nu'=1, \dots, n$). Считаются заданными структура и взаимосвязь алгоритмов обработки информации, полученной с ОУ A_ν , основные технические характеристики элементов PCY, объемы передаваемой (получаемой) информации по каждому ОУ A_ν , директивные сроки выдачи управляющих воздействий на ОУ $A_\nu - t_{\nu s}$, где s — номер технологической операции. Предполагается, что как A_ν , так и B_μ могут перемещаться относительно друг друга и поэтому их взаимодействие становится возможным при попадании в соответствующие зоны вза-